

Stanislav Holý
katedra nauky o pružnosti a pevnosti
fakulty strojní ČVUT v Praze

BEZROZMĚROVÉ VÝRAZY PRO PRUŽNÉ PLASTICKÝ OHYB NOŠNÍKU

Určení statických a deformačních veličin při namáhání v nelineární oblasti pracovního diagramu materiálu je při použití klasických postupů zdlouhavé /L 1/. Jejich vyjádření v bezrozměrovém tvaru přináší řadu výhod a zjednodušení, jak je ukázáno na případu ohýbaného nosníku.

Skutečný pracovní diagram materiálu se povětšinou schematizuje podle močinového zákona

$$\varepsilon = \frac{1}{E} \sigma + B \sigma^n \quad (1)$$

Ramberg a Osgood /L 2/ charakterizují tento schematizovaný pracovní diagram třemi parametry σ_0 , ε_0 , n (obr.1.a). Obecné veličiny σ , ε a tedy i celý pracovní diagram je možno vyjádřit v bezrozměrné formě (obr.1.b)

$$\bar{\varepsilon} = \bar{\sigma} + \bar{B} \bar{\sigma}^n \quad (2)$$

Pro naznačenou konfiguraci sledovaných bodů pracovního diagramu (obr.1.a) je možno odvodit velikosti konstant

$$n = 1 + \frac{0,3853}{\log(\sigma_0/\sigma_{0,85})} \quad \bar{B} = \frac{3}{7} \quad B = \frac{3}{7 E \sigma_0^{n-1}}$$

Na obr.2 jsou pak uvedeny teoretické průběhy sloužící k porovnání skutečných pracovních diagramů reálných materiálů.

Při určování ohybového momentu uvažujme obecný tvar skutečného pracovního diagramu materiálu nosníku (obr.3.a) a průřez nosníku s jednou osou souměrnosti, totožnou se stopou zatěžovacího momentu (obr.3.b). Při zachování rovinného řezu

při pružně plastickém ohýbu dojde u vlákna ve vzdálenosti y k prodloužení $\epsilon(y) = \frac{y+\epsilon}{R}$. Z hodnot ϵ v krajních vláknech A a B průřezu dostaneme

$$R = \frac{h}{\epsilon_A - \epsilon_B} \quad \epsilon = \frac{h}{2} \cdot \frac{\epsilon_A + \epsilon_B}{\epsilon_A - \epsilon_B} - \frac{h_A - h_B}{2}$$

Velikost ohybového momentu

$$M_o = \int_{h_A}^{h_B} \sigma \cdot y \cdot b \cdot dy = \int_{\epsilon_A}^{\epsilon_B} \sigma / (R \cdot \epsilon - e) \cdot b \cdot R \cdot \frac{d\epsilon}{R}$$

S použitím bezrozměrových výrazů pro $\epsilon = \bar{\epsilon} \cdot \epsilon_0$, $\sigma = \bar{\sigma} \cdot \sigma_0$ a šířku průřezu $b = \bar{b} \cdot b_0$

$$M_o = \frac{b_0 h^2 \sigma_0}{(\bar{\epsilon}_A - \bar{\epsilon}_B)^2} \int_{\bar{\epsilon}_A}^{\bar{\epsilon}_B} \bar{\sigma} \cdot \bar{b} \cdot \bar{\epsilon} \cdot d\bar{\epsilon} = \frac{b_0 h^2 \sigma_0}{(\bar{\epsilon}_A - \bar{\epsilon}_B)^2} \cdot m_o \quad (3)$$

Při uvažování obdélníkového průřezu a shodné části skutečného pracovního diagramu v tahu a tlaku $M_o = \frac{b h^2 \sigma_0}{2} m_{o_m}$, kde bezrozměrový výraz pro ohybový moment m_{o_m} je dán grafy na obr.4.

Pro úhel natočení dostaneme podle obr.3.c vztah $d\phi(x) = \frac{dx}{R}$. Rez ve vzdálenosti x se natočí o úhel $\phi(x) = \int_0^x \frac{dx}{R}$. Vzhledem k platnosti Schwedlerovy věty a bezrozměrovému vyjádření ϵ a posouvající sily $T = T_0 \cdot \bar{T}$

$$\phi(x) = \frac{\sigma_0 \cdot \epsilon_0 \cdot b_0 \cdot h}{(\bar{\epsilon}_A - \bar{\epsilon}_B)^2 T_0} \int_0^x \frac{\bar{\epsilon}_A(x) - \bar{\epsilon}_B(x)}{\bar{T}} dm = \frac{\sigma_0 \epsilon_0 b_0 h}{(\bar{\epsilon}_A - \bar{\epsilon}_B)^2 T_0} \varphi(x) \quad (4)$$

Pro obdélníkový průřez a nejčastěji připadající zatížení osmělými silami

$$\phi(x) = \frac{\sigma_0 \epsilon_0 b h}{2 T} \varphi(\bar{\epsilon})$$

kde bezrozměrový výraz $\varphi(\bar{\epsilon})$ pro úhel natočení je dán grafy na obr.5.

S ohledem na vztahy pro průhyb ($dW/x = \phi(x) \cdot dx \Rightarrow W(x) = \int_0^x \phi(x) \cdot dx$) a Schwedlerovu větu dostaneme po úpravě

$$W(x) = \frac{\sigma_0^2 E_0 b_0^2 h^3}{(\bar{E}_A - \bar{E}_B)^4 T_0^2} \int_0^x \frac{\varphi}{\bar{F}} dm = \frac{\sigma_0^2 E_0 b_0^2 h^3}{(\bar{E}_A - \bar{E}_B)^4 T_0^2} w(\bar{\varepsilon}) \quad (5)$$

Pro obdélníkový průřez a $\bar{F}=1$ jsou hodnoty bezrozměrového průběhu dány grafy na obr.6.

$$W(x) = \frac{\sigma_0^2 E_0 b_0^2 h^3}{T^2} w_{\square}(\bar{\varepsilon})$$

Odvozené výrazy odpovídají obecnému případu pružně plastického ohýbu nesnímků. Porovnání výsledků teoretického postupu a experimentu bude uvedeno ve vlastním referátu spolu s obrázky, které se do psaného referátu nevešly.

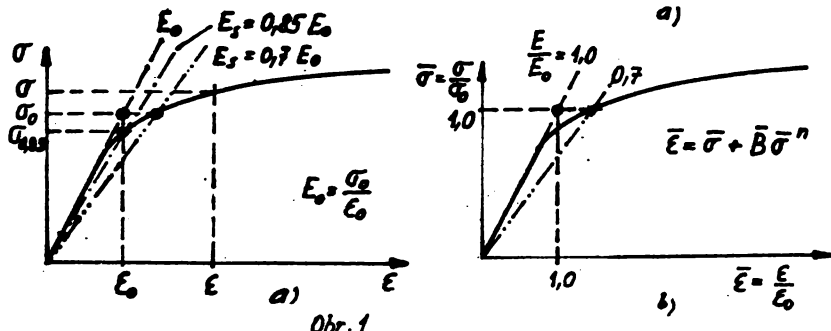
Literatura:

L 1 KULÍŠ Z.: Pružnost a pevnost IV - Plasticita , skriptum
PSI ČVUT Praha 1970

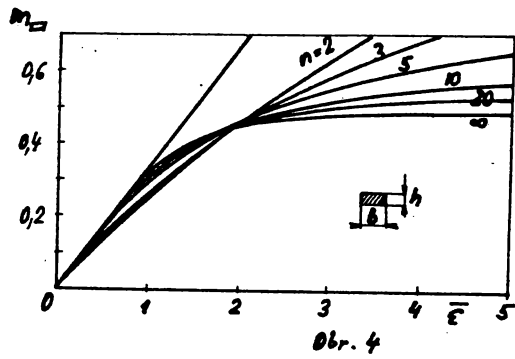
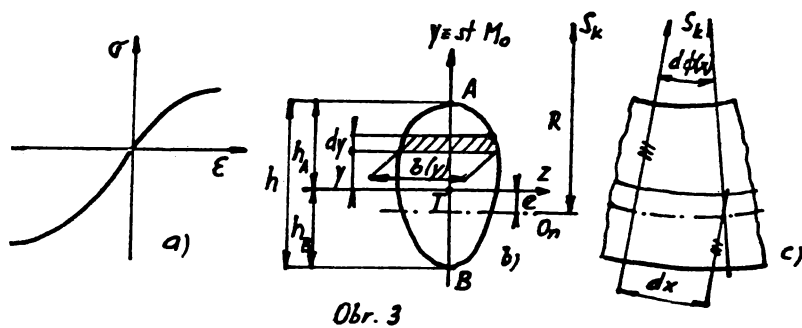
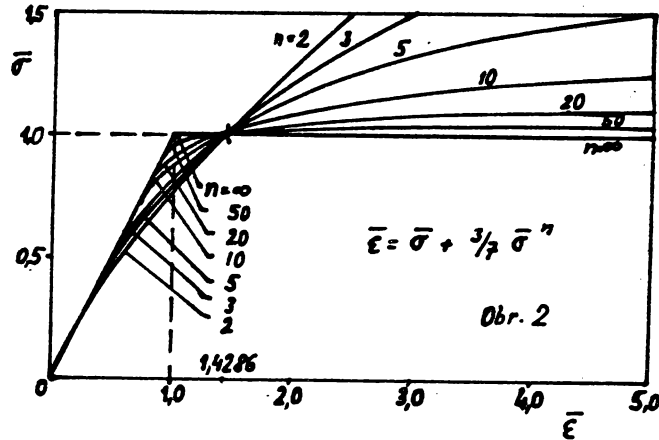
L 2 CHIPMAN R.D.: Dimensionless Inelastic Bending Relationships,
Exp.Mech., February 1963,str. 41-46

L 3 RAMBERG W., OSGOOD W.R.: Description of Stress-Strain Curves by Three Parameters, NACA TN 902 (July 1943)

L 4 KOLEKTIV: Pružnost a pevnost I, skriptum PSI ČVUT
Praha 1980



Obr.1



Obr. 5 vynechán

Obr. 6 vynechán